

## DESEMPENHO DE MÓDULO AUTOMÁTICO PARA ESTIMAR SÉRIES DE EVAPOTRANSPIRAÇÃO DE REFERÊNCIA DIÁRIA E HORÁRIA

SANTOS, A. A.<sup>1</sup>; SOUZA, J. L. M.<sup>2</sup>

<sup>1</sup>Pós-Graduação em Ciência do Solo, UFPR; <sup>2</sup>Professor, DSEA/SCA/UFPR, e-mail:  
jmoretti@ufpr.br

### RESUMO

Teve-se por objetivo no presente estudo associar e analisar séries de evapotranspiração de referência diária ( $ETo_{PM.d}$ ) e o somatório da  $ETo$  horária em 24 horas ( $ETo_{PM.24h}$ ), estimadas em um módulo desenvolvido em planilha eletrônica automática especialmente para essa finalidade, com a  $ETo$  diária estimada no programa “FAO  $ETo$  Calculator” ( $ETo_{FAO-C.d}$ ), para os tipos climáticos *Cfa* e *Cfb* do Estado do Paraná. Para obtenção das estimativas da  $ETo$  com os dois programas foram necessários dados climáticos (horários e diários) de: umidade relativa máxima e mínima do ar ( $UR$ ; %); temperaturas máxima e mínima do ar ( $T$ ; °C); radiação solar incidente ( $Rs$ ; MJ m<sup>-2</sup> dia<sup>-1</sup>); e, velocidade do vento a 2 m de altura ( $u_2$ ; m s<sup>-1</sup>). Os dados climáticos horários são das estações meteorológicas Castro (clima *Cfb*) e Marechal Cândido Rondon (clima *Cfa*), pertencentes ao Instituto Nacional de Meteorologia (INMET), medidos no período entre 01 de janeiro de 2017 a 31 de março de 2017. A comparação dos resultados obtidos nas associações entre “ $ETo_{PM.d}$  vs  $ETo_{FAO.C.d}$ ” e “ $ETo_{PM.24h}$  vs  $ETo_{FAO.C.d}$ ” foi realizada por meio da raiz quadrada do erro quadrático ( $RMSE$ ), coeficiente de correlação de Pearson ( $r$ ) e índice de concordância “ $d$ ”. Nas análises, verificou-se que: *i*) As associações entre “ $ETo_{PM.d}$  vs  $ETo_{FAO-C.d}$ ” e “ $ETo_{PM.24h}$  vs  $ETo_{FAO-C.d}$ ” indicaram excelente desempenho das estimativas da  $ETo$  com o “Módulo Evapotranspiração da Plataforma Moretti”, em relação ao Programa “FAO  $ETo$  Calculator”, para as estações Castro (clima *Cfb*) e Marechal Cândido Rondon (clima *Cfa*), do Estado do Paraná; *ii*) A  $ETo_{PM.24h}$  obtida no “Módulo  $ETo$  da Plataforma Moretti” tiveram médias diárias para os meses analisados (janeiro, fevereiro e março) muito próximas da  $ETo_{FAO-C.d}$  estimada com o programa “FAO  $ETo$  Calculator” para o Estado do Paraná (climas *Cfa* e *Cfb*); *iii*) O “Módulo  $ETo$  da Plataforma Moretti” evidenciou aspectos bem interessantes quanto a possibilidade de analisar série de dados climáticos de forma rápida e precisa, além de possibilitar estimativas de  $ETo$  na periodicidade diária e horária.

**Palavras-chave:** Ciclo hidrológico; relações hídricas; modelagem; agrometeorologia.

## INTRODUÇÃO

A evaporação e transpiração compreendem o processo de evapotranspiração, sendo controlada pelo suprimento de água às plantas e interação entre variáveis meteorológicas. Ocorre naturalmente como forma de dissipar energia e manter o crescimento e desenvolvimento das plantas. A evapotranspiração (*ET*) é uma importante componente hidrológica aplicada ao processo de planejamento hídrico, uma vez que há necessidade de controle das entradas e saídas de água nos sistemas de cultivos. O conhecimento do valor da evapotranspiração ajuda na quantificação da saída de água do sistema de cultivo, possibilitando a realização do planejamento e manejo adequado dos recursos hídricos e do solo (Khazaei e Hosseini, 2015; Lopes e Leal, 2016; Ji et al., 2017).

Para melhor compreensão e utilização técnica, o conceito de evapotranspiração de referência (*ETo*) foi idealizado e refere-se ao processo de perda de água para a atmosfera por evaporação do solo e transpiração de uma cultura hipotética de referência, como a grama (apresentando tamanho de 0,12 m) ou alfafa (com tamanho de 0,25 m), assumindo-se perfeito desenvolvimento vegetativo e condições ideais de suprimento de água. Padronizando-se os fatores internos e suprimento de água, tem-se a possibilidade de verificar a influência das variáveis externas sobre a *ETo*, bem como sua tendência ao longo de determinado período (Allen, 1998; ASCE EWRI, 2005; Jerszurki et al., 2017).

A *ETo* pode ser determinada diretamente com lisímetros ou evapotranspirômetros, e indiretamente com a utilização de equações (Souza, 2017). O uso das equações exige atenção e muito cuidado para que não haja erros nas estimativas. Por isso, a utilização de programas que permitem estimativas mais precisas da *ETo* vem sendo cada vez mais procurados. Existem alguns pacotes e *Software* para o cálculo da *ETo*, como o código “*Fortran Morton WREVAP*” (McMahon et al., 2013), o pacote R “*Evapotranspiration*” (Guo et al., 2016) e o “*FAO ETo calculator*” (FAO, 2009). Contudo, nem todos os programas disponíveis apresentam facilidade para analisarem períodos mais longos de *ETo* (estimativa de séries diárias e horárias), e poucas opções são gratuitas, fato que dificulta a utilização dos mesmos. O programa “*FAO ETo calculator*”, apresentado pela FAO (2009) é bastante difundido e utilizado para verificação da acurácia de outros sistemas ou programas desenvolvidos mais recentemente para estimar a *ETo* (Sousa, 2012).

Buscando o desenvolvimento de uma ferramenta simples, de fácil utilização e sem custos, a “Plataforma Moretti / Laboratório de Modelagem e Sistemas Agrícolas (LAMOSA)” do Departamento de Solos e Engenharia Agrícola, da Universidade Federal do Paraná, está desenvolvendo um módulo de estimativa de séries de evapotranspiração de referência, constituído dentro de uma planilha eletrônica automática (Souza, 2019). O módulo estima a *ETo* na periodicidade diária ou horária, tendo-se como base a equação Penman-Monteith apresentada por *American Society of Civil Engineers* (ASCE-EWRI, 2005; Souza, 2019).

Como o programa “*FAO ETo Calculator*”, versão 3.2 (FAO, 2009) vem sendo utilizado e testado na literatura ao longo de vários anos, e apresenta bons resultados na estimativa da *ETo* diária, acredita-se que as saídas obtidas com o programa (*EToFAO-C.d*) sejam as mais indicadas para comparar a exatidão de novas ferramentas desenvolvidas para essa finalidade.

Diante do contexto apresentado, teve-se por objetivo no presente estudo associar e analisar séries de  $ETo$  diária ( $ETo_{PM.d}$ ) e o somatório da  $ETo$  horária em 24 horas ( $ETo_{PM.24h}$ ), estimadas em um módulo desenvolvido em planilha eletrônica automática especialmente para essa finalidade, com a  $ETo$  diária estimada no programa “FAO  $ETo$  Calculator” ( $ETo_{FAO-C.d}$ ), para os tipos climáticos *Cfa* e *Cfb* do Estado do Paraná.

## MATERIAL E MÉTODOS

O presente estudo foi realizado com dados de duas estações meteorológicas do Estado do Paraná (Figura 1), região Sul do Brasil, localizadas em Castro (clima *Cfb*;  $-24,78^{\circ}$  S de Latitude;  $-50,00^{\circ}$  W de Longitude; e 994 m de Altitude) e Marechal Cândido Rondon (clima *Cfa*;  $-24,53^{\circ}$  S de Latitude;  $-54,02^{\circ}$  W de Longitude; e 392 m de Altitude). O clima subtropical *Cfa* apresenta boa distribuição da precipitação pluviométrica ao longo do ano, em média 1500 mm ano $^{-1}$ , e temperatura média anual de 19 °C. O clima subtropical *Cfb* apresenta precipitações bem distribuídas ao longo do ano, sendo superiores a 1200 mm ano $^{-1}$ , e verões amenos com temperatura média anual de 17 °C (Alvares et al., 2013). Foram utilizados os dados horários e diários disponíveis no Instituto Nacional de Meteorologia (INMET), compreendendo o período entre 01 de janeiro de 2017 e 31 de março de 2017. Foram necessárias séries dos seguintes dados climáticos horários e diários: temperaturas máxima e mínima do ar ( $T$ ; °C); umidade relativa máxima e mínima do ar ( $UR$ ; %); radiação solar incidente ( $Rs$ ; MJ m $^{-2}$  dia $^{-1}$ ); e velocidade do vento a 2 m de altura ( $u_2$ ; m s $^{-1}$ ). Resultando no uso de 1080 dados diários e 25920 dados horários.

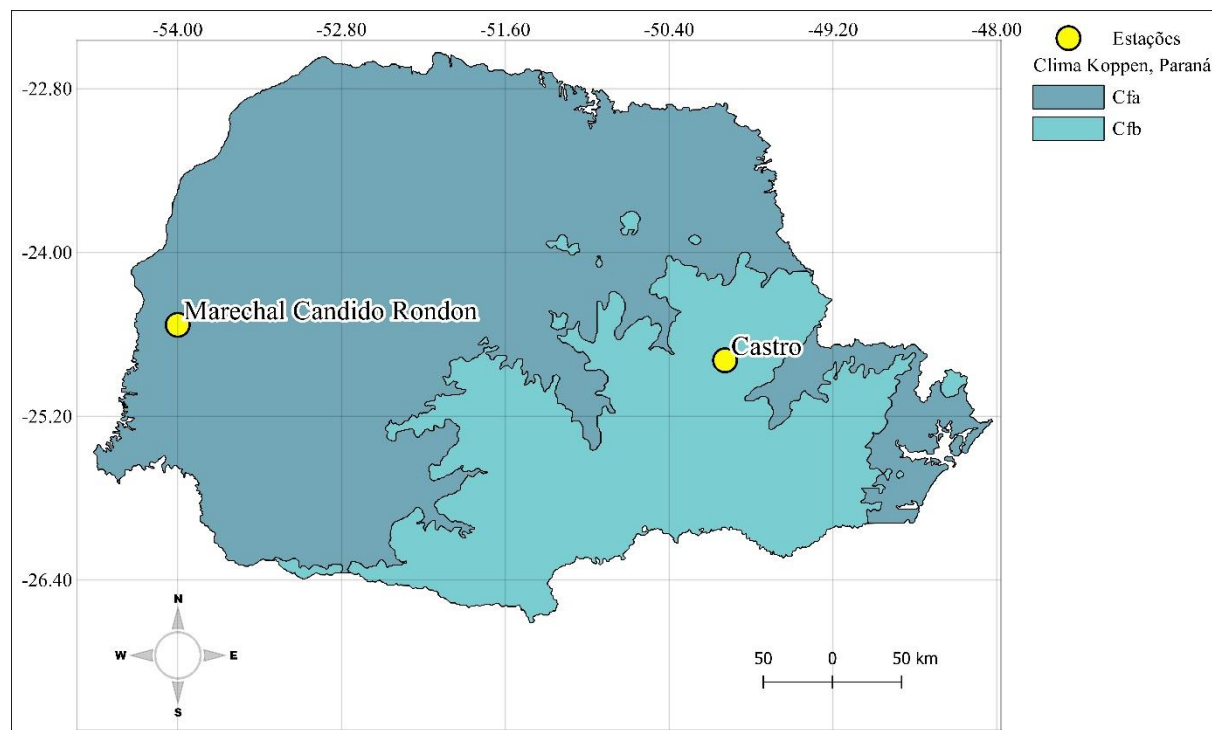


Figura 1 – Localização e tipo climático das estações meteorológicas de Castro (clima *Cfb*) e Marechal Cândido Rondon (*Cfa*). Fonte: Adaptado de IAPAR (2020).

Os valores de  $ETo$  foram estimados com o “Módulo  $ETo$  da Plataforma Moretti” (diária:  $ETo_{PM.d}$  e horária:  $ETo_{PM.h}$ ; Souza, 2019) e programa “FAO  $ETo Calculator$ ”, versão 3.2 (diária:  $ETo_{FAO-C.d}$ ). Os dois programas realizam os cálculos da  $ETo$  baseando-se na equação de Penman-Monteith (Allen, 1998; ASCE-EWRI, 2005), utilizando cultura de porte baixo com 12 cm.

$$ETo = \frac{(0,408 \cdot \Delta \cdot (Rn - G) + \gamma \cdot \frac{Cn}{(T + 273)} \cdot u_2 \cdot (es - ea))}{\Delta + \gamma \cdot (1 + Cd \cdot u_2)} \quad (1)$$

Sendo:  $ETo$  – evapotranspiração de referência horária ou diária ( $ETo_{PM.h}$ , em  $\text{mm h}^{-1}$ ; ou,  $ETo_{PM.d}$  e  $ETo_{FAO-C.d}$  em  $\text{mm dia}^{-1}$ , respectivamente); 0,408 – coeficiente da equação ( $\text{m}^2 \text{ mm MJ}^{-1}$ );  $\Delta$  – declividade da curva de pressão de vapor da água à temperatura do ar ( $\text{kPa} ^\circ\text{C}^{-1}$ );  $Rn$  – saldo de radiação líquida na superfície ( $\text{MJ m}^{-2} \text{ h}^{-1}$  ou  $\text{MJ m}^{-2} \text{ dia}^{-1}$ );  $G$  – balanço do fluxo de calor no solo ( $\text{MJ m}^{-2} \text{ h}^{-1}$  ou  $\text{MJ m}^{-2} \text{ dia}^{-1}$ );  $\gamma$  – constante psicrométrica ( $\text{kPa} ^\circ\text{C}^{-1}$ );  $Cn$  – constante relacionada ao tipo de vegetação e escala de tempo considerado ( $Cn_{horária} = 37 \text{ K mm s}^3 \text{ Mg}^{-1} \text{ h}^{-1}$  ou  $Cn_{diária} = 900 \text{ K mm s}^3 \text{ Mg}^{-1} \text{ h}^{-1}$ , para cobertura do solo com grama curta);  $T$  – temperatura média do ar ( $^\circ\text{C}$ );  $u_2$  – velocidade do vento a dois metros de altura ( $\text{m s}^{-1}$ );  $es$  – pressão de saturação de vapor ( $\text{kPa}$ );  $ea$  – pressão atual do vapor ( $\text{kPa}$ );  $Cd$  – constante relacionada ao tipo de vegetação e escala de tempo considerada ( $Cd_{diurno} = 0,24 \text{ s m}^{-1}$  para período diurno e grama curta; ou,  $Cd_{noturno} = 0,96 \text{ s m}^{-1}$  para período noturno e grama curta; ou,  $Cd_{diária} = 0,34 \text{ s m}^{-1}$  para grama curta).

Os 24 valores de evapotranspiração de referência horário ( $ETo_{PM.h}$ ) de um dia, estimados com o “Módulo  $ETo$  da Plataforma Moretti” (Souza, 2019), foram somados para comparação estatística com a  $ETo_{FAO-C.d}$  (“FAO  $ETo Calculator$ ”) do respectivo dia:

$$ETo_{PM.24h} = \sum_{h=1}^{n=24} ETo_{PM.h}$$

Sendo:  $ETo_{PM.24h}$  – evapotranspiração de referência resultante do somatório do  $h$ -ésimo valor de evapotranspiração de referência horária de um mesmo dia ( $\text{mm dia}^{-1}$ );  $ETo_{PM.h}$  – evapotranspiração de referência da  $h$ -ésima hora, estimados com o “Módulo  $ETo$  da Plataforma Moretti” ( $\text{mm h}^{-1}$ );  $n$  – número de horas de um dia (adimensional;  $n = 24$ ).

As associações entre os respectivos valores de “ $ETo_{PM.d} vs ETo_{FAO-C.d}$ ” e “ $ETo_{PM.24h} vs ETo_{FAO-C.d}$ ” foram verificadas em análises de regressão. Para comparação, utilizou-se os principais índices e coeficientes recomendados na literatura (Souza, 2018):

$$RMSE = \sqrt{\frac{1}{n} \cdot \sum_{i=1}^n (Y_{p_i} - Y_{a_i})^2}$$

$$r = \frac{\sum_{i=1}^n [(Y_{p_i} - \bar{Y}_p) \cdot (Y_{a_i} - \bar{Y}_a)]}{\sqrt{\sum_{i=1}^n (Y_{p_i} - \bar{Y}_p)^2 \cdot \sum_{i=1}^n (Y_{a_i} - \bar{Y}_a)^2}}$$

$$d = 1 - \frac{\sum_{i=1}^n (Y_{ai} - Y_{pi})^2}{\sqrt{\sum_{i=1}^n (|Y_{ai} - \bar{Y}_p| \cdot |Y_{pi} - \bar{Y}_p|)^2}}$$

Sendo:  $RMSE$  –raiz quadrada do erro quadrado médio (%);  $r$  – coeficiente de correlação de Pearson (adimensional);  $d$  – índice de concordância “ $d$ ” de Willmott (1982) (adimensional);  $Y_{Pi}$  – valores de  $ETo$  obtidos com o método padrão no  $i$ -ésimo dia ( $\text{mm dia}^{-1}$ );  $Y_{ai}$  – valor de  $ETo$  obtido com o método alternativo no  $i$ -ésimo dia ( $\text{mm dia}^{-1}$ );  $n$  – número de dias analisados (adimensional);  $\bar{Y}_p$  – média dos valores de  $ETo$  obtidos com o método padrão para todos os dias analisados ( $\text{mm dia}^{-1}$ );  $\bar{Y}_a$  – média dos valores de  $ETo$  obtidos com o método alternativo para todos os dias analisados ( $\text{mm dia}^{-1}$ ).

## RESULTADOS E DISCUSSÃO

A disponibilidade de dados de evapotranspiração de referência ( $ETo$ ) é importante para pesquisadores e técnicos de diversas áreas. Dados confiáveis  $ETo$  são fundamentais para orientar e auxiliar em inúmeras pesquisas na área de engenharia de água e solo, além de contribuir na tomada de decisões para o planejamento, projeto e manejo das melhores práticas agrícolas a serem realizadas para manter ou melhorar a produção agrícola. Pensando em atender a essa demanda, o desenvolvimento de *softwares* pode servir como ferramenta auxiliar na obtenção desses dados. Nesse contexto, a “Plataforma Moretti” desenvolveu um Módulo em planilha eletrônica e com o auxílio da linguagem de programação *Visual Basic for Applications* (VBA-Macro), para realizar cálculos da evapotranspiração de referência horária e diária, baseando-se na equação de Penman-Monteith (Allen, 1998; ASCE-EWRI, 2005). O uso do Módulo é muito simples, basta o usuário escolher algumas opções e entrar com as séries de dados climáticos necessários, no período e periodicidade desejada (Figura 2).

Para as periodicidades diária ou horária o “Módulo  $ETo$  da Plataforma Moretti” ajusta os valores de velocidade do vento, quando estas não encontram-se medidas na altura padrão de 2 metros, bastando adicionar a altura em que foi medida. Permite também que sejam computados dados em diferentes alturas sem haver necessidade de cálculos manuais de conversão. Para radiação solar incidente ( $Rs$ ) diária, tem-se a opção de entrar com valores medidos, ou estima-los com as equações de Angström-Prescott e Hargreaves-Samani (Souza, 2017).

O Programa “FAO  $ETo$  Calculator” não realiza conversões automaticamente, sendo necessário que os valores estejam pré-estabelecidos nas unidades exigidas, não estima  $ETo$  em periodicidade horária e, considerando os valores das variáveis de entrada, estabelece valores máximos e mínimos para o período e localidade. Desta forma, no caso de algum erro do sensor, tendo-se valor acima do máximo estabelecido pelo “FAO  $ETo$  Calculator”, o programa realizará as estimativas somente se for admitido o valor máximo estabelecido.

Considerando os valores máximos de radiação solar incidente ( $Rs$ ) estabelecidos no programa “FAO  $ETo$  Calculator” para a estação Cândido Rondon (clima *Cfa*), foi necessário excluir os períodos diários em que o programa acusou exceder o limite permitido (Figura 3). Assim, foram utilizados 76 dos 90 dias analisados, estando os erros associados à radiação incidente ( $Rs$ ), principalmente no mês de fevereiro.

UNIVERSIDADE FEDERAL DO PARANÁ / SETOR DE CIÊNCIAS AGRÁRIAS  
DEPARTAMENTO DE SOLOS E ENGENHARIA AGRÍCOLA  
**UFPR** M Plataforma Moretti  
LAMOSA - LABORATÓRIO DE MODELAGEM DE SISTEMAS AGRÍCOLAS

**PLATAFORMA MORETTI: MÓDULO - CÁLCULO DA EVAPOTRANSPIRAÇÃO DE REFERÊNCIA (ET<sub>O</sub>) DIÁRIA E HORÁRIA COMO MÉTODO DE PENMAN-MONTEITH**

Autor:  
Jorge Luiz Moretti de Souza (LAMOSA / DSEA / SCA / UFPR)

Enderço:  
Rua dos Funcionários, 1540 - Curitiba, PR  
CEP: 80035-050 Telefone: (041) 3350-5689  
e-mail: jmoretti@ufpr.br  
Site: <http://www.moretti.agrarias.ufpr.br/>

**ET<sub>oPM</sub>-Diária** **ET<sub>oPM</sub>-Horária** **Fechar**

**Versão 3.0 / 2019**  
(p. Moretti\_EToPM\_2019)

(a)

CÁLCULO DA EVAPOTRANSPIRAÇÃO DE REFERÊNCIA (ET<sub>oPM</sub>) DIÁRIA COM O MÉTODO DE PENMAN-MONTEITH

Informações gerais do local analisado:		Opções sobre a radiação solar incidente (Rs) do local:	
Data inicial dos cálculos:	01/01/2018 dia / mês / ano	Radiação solar incidente (Rs):	Os valores foram medidos
Latitude ( $\varphi$ ):	16,2 graus	Coefficiente linear "a" de Angström-Presscott:	adimensional
	0,2831 radianos	Coefficiente angular "b" de Angström-Presscott:	adimensional
Altitude do local (Z):	49,0 m	Coefficiente $K_{RS}$ de Hargreaves e Samani:	°C <sup>-1</sup>
Altura da medida do vento (Z):	2,0 m	Declarção de constantes:	
Unidade de medida da velocidade do vento:	m/s	Constante solar ( $G_{sc}$ ):	4,92 MJ m <sup>-2</sup> h <sup>-1</sup>
		Albedo da cultura ( $\alpha$ ):	0,23 adimensional
		Constante de Stefan-Boltzmann ( $\sigma$ ):	4,90E-09 MJ K <sup>-4</sup> m <sup>-2</sup> dia <sup>-1</sup>

(b)

CÁLCULO DA EVAPOTRANSPIRAÇÃO DE REFERÊNCIA (ET<sub>oPM</sub>) HORÁRIA COM O MÉTODO DE PENMAN-MONTEITH

Informações gerais do local analisado:		Opções sobre a radiação solar incidente (Rs) do local:	
Data inicial dos cálculos:	01/01/2017 dia / mês / ano	Radiação solar incidente (Rs):	Os valores foram medidos
Latitude ( $\varphi$ ):	-9,4 graus	Coefficiente linear "a" de Angström-Presscott:	adimensional (Obs.: Ajustado para período horário)
	-0,1637 radianos	Coefficiente angular "b" de Angström-Presscott:	adimensional (Obs.: Ajustado para período horário)
Longitude cetal do local considerado (L <sub>c</sub> ):	45,0 graus	Coefficiente $K_{RS}$ de Hargreaves e Samani:	°C <sup>-1</sup> (Obs.: Ajustado para período horário)
Longitude do local de medição da radiação solar (L <sub>m</sub> ):	40,5 graus	Declarção de constantes:	
Altitude do local (Z):	370,5 m	Constante solar ( $G_{sc}$ ):	4,92 MJ m <sup>-2</sup> h <sup>-1</sup>
Altura da medida do vento (Z):	2,0 m	Albedo da cultura ( $\alpha$ ):	0,23 adimensional
Unidade de medida da velocidade do vento:	m/s	Constante de Stefan-Boltzmann ( $\sigma$ ):	2,04E-10 MJ K <sup>-4</sup> m <sup>-2</sup> h <sup>-1</sup>

(c)

CÁLCULO DA EVAPOTRANSPIRAÇÃO DE REFERÊNCIA (ET<sub>oPM</sub>) HORÁRIA COM O MÉTODO DE PENMAN-MONTEITH

Informações gerais do local analisado:		Opções sobre a radiação solar incidente (Rs) do local:	
Data inicial dos cálculos:	01/01/2017 dia / mês / ano	Radiação solar incidente (Rs):	Os valores foram medidos
Latitude ( $\varphi$ ):	-9,4 graus	Coefficiente linear "a" de Angström-Presscott:	adimensional (Obs.: Ajustado para período horário)
	-0,1637 radianos	Coefficiente angular "b" de Angström-Presscott:	adimensional (Obs.: Ajustado para período horário)
Longitude cetal do local considerado (L <sub>c</sub> ):	45,0 graus	Coefficiente $K_{RS}$ de Hargreaves e Samani:	°C <sup>-1</sup> (Obs.: Ajustado para período horário)
Longitude do local de medição da radiação solar (L <sub>m</sub> ):	40,5 graus	Declarção de constantes:	
Altitude do local (Z):	370,5 m	Constante solar ( $G_{sc}$ ):	4,92 MJ m <sup>-2</sup> h <sup>-1</sup>
Altura da medida do vento (Z):	2,0 m	Albedo da cultura ( $\alpha$ ):	0,23 adimensional
Unidade de medida da velocidade do vento:	m/s	Constante de Stefan-Boltzmann ( $\sigma$ ):	2,04E-10 MJ K <sup>-4</sup> m <sup>-2</sup> h <sup>-1</sup>

Figura 2 – Formulários do Módulo da “Plataforma Moretti”, para o cálculo da evapotranspiração de referência (ET<sub>O</sub>) com método de Penman-Monteith: a) Formulário de abertura; b) Formulário para o cálculo da ET<sub>O</sub> na periodicidade diária (ET<sub>oPM.d</sub>); e, c) Formulário para o cálculo da ET<sub>O</sub> na periodicidade horária (ET<sub>oPM.h</sub>).

**Data range.....**

Data ..... Undefined Value **-999.000**

Column Max...	29.9	28.2	91.5	88.2	3.95	35.29
Column Min...	22.2	21.0	58.5	49.1	0.17	2.11

**Program limits (Data Range)**

Upper limit...	45.0	45.0	100.0	100.0	8.00	34.34
Lower limit...	-15.0	-15.0	15.0	15.0	0.00	0.00

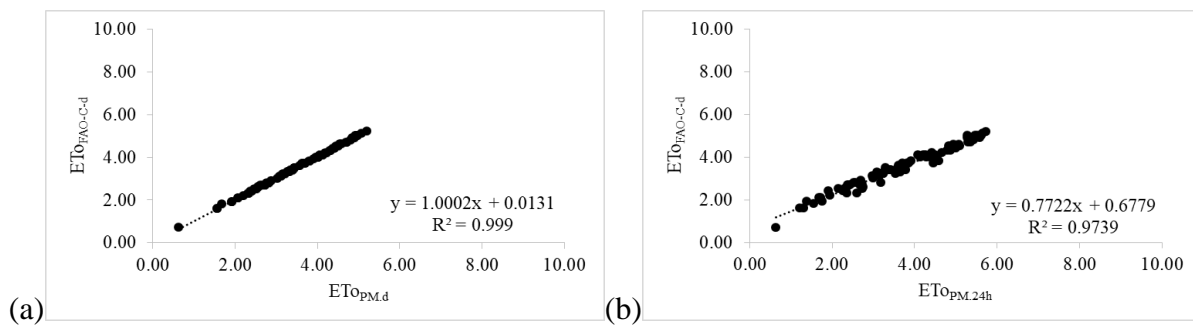
Figura 3 – Limites dos valores de radiação solar incidente (Rs) estabelecidos pelo programa “FAO ET<sub>O</sub> Calculator”.

Verificou-se boa associação entre os valores de  $ETo_{PM.d}$  e  $ETo_{FAO-C.d}$  (Tabela 1 e Figura 4), indicando boa precisão dos valores  $ETo$  estimados com o “Módulo  $ETo$  da Plataforma Moretti”, em relação ao Programa “FAO  $ETo$  Calculator”. Em média, as correlações foram estreitas, houve boa concordância entre os valores e os erros foram baixos, sendo:  $RMSE = 0,03 \text{ mm dia}^{-1}$ ,  $d = 1,0$  e  $r = 1,0$  para a estação Castro (clima *Cfb*); e,  $RMSE = 0,04 \text{ mm dia}^{-1}$ ,  $d = 1,0$  e  $r = 1,0$  para a estação Marechal Cândido Rondon (clima *Cfa*).

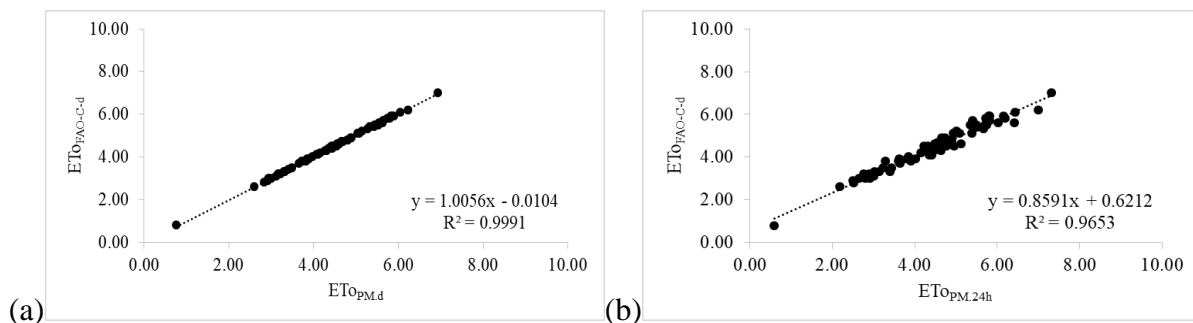
As associações entre os valores de  $ETo_{PM.24h}$  e  $ETo_{FAO-C.d}$  (Tabela 1 e Figura 4) também resultaram em correlações estreitas, boa concordância e baixos erros com os valores de  $ETo$  estimados no “Módulo  $ETo$  da Plataforma Moretti”. De forma geral, verificou-se:  $RMSE = 0,37 \text{ mm dia}^{-1}$ ,  $d = 0,97$  e  $r = 0,99$ , para a estação Castro (clima *Cfb*); e,  $RMSE = 0,27 \text{ mm dia}^{-1}$ ,  $d = 0,98$  e  $r = 0,98$  para a estação Marechal Cândido Rondon (clima *Cfa*). Os erros da  $ETo_{PM.24h}$  foram superior aos verificados  $ETo_{PM.d}$  (Tabela 1), em relação a  $ETo_{FAO-C.d}$ .

Tabela 1. Raiz quadrada do erro quadrado médio ( $RMSE$ ;  $\text{mm dia}^{-1}$ ), índice “ $d$ ” de concordância (adimensional), coeficiente de correlação ( $r$ ; adimensional) obtidos nas associações entre “ $ETo_{PM.d}$  vs  $ETo_{FAO-C.d}$ ” e “ $ETo_{PM.24h}$  vs  $ETo_{FAO-C.d}$ ”, no período entre 01 de janeiro de 2017 e 31 de março de 2017, para os climas *Cfa* e *Cfb*, predominantes no Estado do Paraná.

Estações	Métodos	Período	$RMSE$ ( $\text{mm dia}^{-1}$ )	$d$ (ad.)	$r$ (ad.)	
Castro	“ $ETo_{PM.d}$ vs $ETo_{FAO-C.d}$ ”	Janeiro	0,03	1,00	1,00	
		Fevereiro	0,03	1,00	1,00	
		Março	0,04	1,00	1,00	
	Média para clima <i>Cfb</i>		0,03	1,00	1,00	
	“ $ETo_{PM.24h}$ vs $ETo_{FAO-C.d}$ ”	Janeiro	0,37	0,97	0,99	
		Fevereiro	0,40	0,96	1,00	
		Março	0,33	0,97	0,98	
	Média para clima <i>Cfb</i>		0,37	0,97	0,99	
	“ $ETo_{PM.d}$ vs $ETo_{FAO-C.d}$ ”	Janeiro	0,04	1,00	1,00	
Marechal Cândido Rondon		Fevereiro	0,04	1,00	1,00	
		Março	0,03	1,00	1,00	
Média para clima <i>Cfa</i>		0,04	1,00	1,00		
“ $ETo_{PM.24h}$ vs $ETo_{FAO-C.d}$ ”	Janeiro	0,22	0,98	0,98		
	Fevereiro	0,35	0,98	0,98		
	Março	0,23	0,99	0,99		
Média para clima <i>Cfa</i>		0,27	0,98	0,98		



I) Estação Castro (clima *Cfb*)



II) Estação Marechal Cândido Rondon (clima *Cfa*)

Figura 4 – Análises de regressão linear entre respectivos valores de *ETo* calculados no “Módulo *ETo* da Plataforma Moretti” e programa “FAO *ETo Calculator*”, para as estações climatológicas Castro (clima *Cfb*) e Marechal Cândido Rondon (clima *Cfb*), no período entre 01 de janeiro de 2017 e 31 de março de 2017, sendo: a) “*ETOPM.d* vs *ETOfao-C.d*”; e, b) “*ETOPM.24h* vs *ETOfao-C.d*”.

Sousa (2012) comparando valores de *ETo* estimados em um aplicativo com os obtidos no software “FAO *ETo Calculator*”, encontraram diferença média 0,56 mm dia<sup>-1</sup> nos resultados dos programas. Conforme o autor a diferença não representa grandes riscos ao manejo da irrigação. No presente estudo foram encontradas as seguintes diferenças médias: 0,01 mm dia<sup>-1</sup> para Castro (clima *Cfb*) e Marechal Cândido Rondon (clima *Cfa*), nas associações “*ETOPM.d* vs *ETOfao-C.d*”; e, 0,14 mm dia<sup>-1</sup> para Castro (clima *Cfb*) e 0,01 mm dia<sup>-1</sup> para Marechal Cândido Rondon (clima *Cfa*), nas associações “*ETOPM.24h* vs *ETOfao-C.d*”. Os resultados evidenciaram boa acurácia das estimativas *ETo<sub>d</sub>* e *ETo<sub>h</sub>* obtidas no “Módulo *ETo* da Plataforma Moretti”.

Os resultados evidenciaram também que a *ETOPM.24h* diária, obtida com o somatório de 24 horas no “Módulo *ETo* da Plataforma Moretti”, tiveram médias diárias para os meses de janeiro, fevereiro e março muito semelhantes a *ETOfao-C.d* obtidas no programa “FAO *ETo Calculator*”, para os climas *Cfa* e *Cfb* analisados no Estado do Paraná (Figura 5).

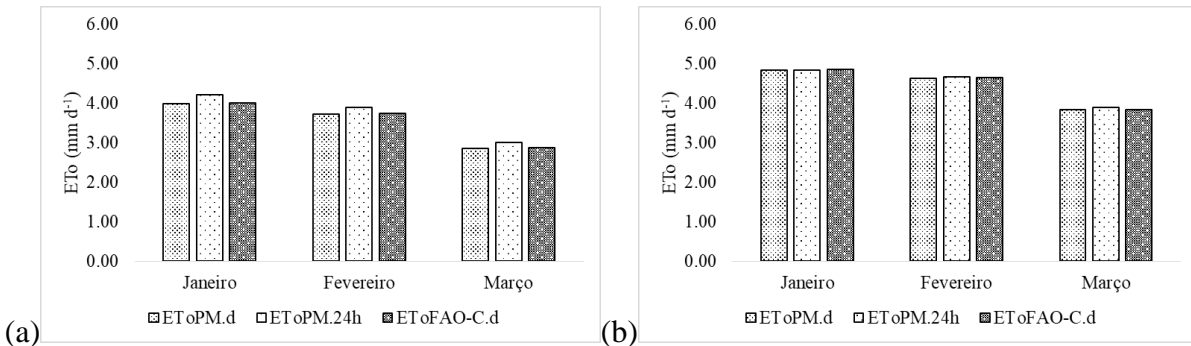


Figura 5 – Valores de  $ETo$ , média diária ( $\text{mm dia}^{-1}$ ), obtidos com o “Módulo  $ETo$  da Plataforma Moretti” ( $ETo_{PM,d}$  e  $ETo_{PM,24h}$ ) e programa “FAO  $ETo$  Calculator” ( $ETo_{FAO-C,d}$ ), para duas estações meteorológicas no Estado do Paraná, no período entre 01 de janeiro de 2017 e 31 de março de 2017: a) Castro (clima  $Cfb$ ); e, b) Marechal Cândido Rondon (clima  $Cfa$ ).

O “Módulo  $ETo$  da Plataforma Moretti” mostrou-se vantajoso por possibilitar a análise de série de dados necessitando de pouco tempo para execução e obtenção dos resultados. Os dados climáticos podem ser dispostos (copiados) por bloco no formulário do Módulo, o que é vantajoso, visto que no “FAO  $ETo$  calculator” exige-se alguns tipos de arquivo para que seja possível a realização de importação dos dados, bem como o programa não prossegue com as estimativas  $ETo$  no caso de haver alguma lacuna nos dados de entrada. O “Módulo  $ETo$  da Plataforma Moretti” permite deixar lacunas, realizando a estimativa dos demais períodos em que são dispostos todos os dados.

O uso do programa “FAO  $ETo$  calculator” é mais restrito por não realizar o cálculo da  $ETo$  horária. O “Módulo  $ETo$  da Plataforma Moretti” possibilita o cálculo da  $ETo$  na periodicidade horária, descrita por alguns estudos como mais confiável para a estimada na evapotranspiração na periodicidade diária (Sobrinho et al., 2011; Treder e Klamkowski, 2017). Nolz e Rodný (2019) consideram que os cálculos da  $ETo$  na periodicidade diária são mais simples, mas as estimativas horárias permitem acompanhar sua tendência ao longo das 24 horas do dia, inclusive no período noturno.

## CONCLUSÕES

- As associações entre “ $ETo_{PM,d}$  vs  $ETo_{FAO-C,d}$ ” ( $RMSE \leq 0,04 \text{ mm dia}^{-1}$ ;  $d = 1,00$ ;  $r = 1,00$ ) e “ $ETo_{PM,24h}$  vs  $ETo_{FAO-C,d}$ ” ( $RMSE \leq 0,37 \text{ mm dia}^{-1}$ ;  $d \geq 0,97$ ;  $r \geq 0,98$ ) indicaram excelente desempenho das estimativas da  $ETo$  com o “Módulo  $ETo$  da Plataforma Moretti”, em relação ao Programa “FAO  $ETo$  Calculator”, para as estações Castro (clima  $Cfb$ ) e Marechal Cândido Rondon (clima  $Cfa$ ), do Estado do Paraná.
- A  $ETo_{PM,24h}$  obtida no “Módulo  $ETo$  da Plataforma Moretti” tiveram médias diárias para os meses analisados (janeiro, fevereiro e março) muito próximas da  $ETo_{FAO-C,d}$  estimada com o programa “FAO  $ETo$  Calculator” para o Estado do Paraná (climas  $Cfa$  e  $Cfb$ ).
- O “Módulo  $ETo$  da Plataforma Moretti” mostrou aspectos bem interessantes quanto a possibilidade de analisar série de dados climáticos de forma rápida e precisa, além de possibilitar estimativas de  $ETo$  na periodicidade diária e horária.

## LITERATURA CITADA

ALLEN, R. G.; PEREIRA, L. S.; RAES, D.; SMITH, M. Crop evapotranspiration. Guidelines for computing crop water requirements. **Irrigation and Drainage**, Paper n. 56, Roma, FAO, 1998.

ALVARES, C. A.; STAPE, J. L.; SENTELHAS, P. C.; GONÇALVES, J. L. de M.; SPAROVEK, G. Köppen's climate classification map for Brazil. **Meteorologische Zeitschrift**, v. 22, n. 6, p. 711–728, 2013.

ASCE-EWRI. The ASCE standardized reference evapotranspiration equation. Report of the Task Committee on Standardization of Reference Evapotranspiration. Reston: **Institute of the American Society of Civil Engineers**; 2005.

FAO - Organização das Nações Unidas para Alimentação e Agricultura. **ETo Calculator. Manual (38p) e software Version 3.1. 2009**. Land and Walter Digital Media Series Nº 36.

GUO, D.; WESTRA, S.; MAIER, H. R. An R package for modelling actual, potential and reference evapotranspiration. **Environmental Modelling & Software**, v.78, p.216–224, 2016.

IAPAR. Instituto agronômico do Paraná. Download de shapefile contendo a classificação climática predominante do Estado do Paraná. Acesso em: > <http://www.iapar.br/><. 2020.

JERSZURKI, D.; SOUZA, J. L. M.; SILVA, L. C. R. Expanding the geography of evapotranspiration: An improved method to quantify land-to-air water fluxes in tropical and subtropical regions. **PLOS ONE**, v.12, n.6, 2017. Doi:10.1371/journal.pone.0180055.

JI, X. B.; CHENC, J. M.; ZHAOA, W. Z.; KANGA, E. S.; JINA, B. W; XUD, S.Q. Comparison of hourly and daily Penman-Monteith grass- and alfalfa-reference evapotranspiration equations and crop coefficients for maize under arid climatic conditions. Contents lists available at ScienceDirect. **Agricultural Water Management**, p.1-11. 2017. Doi:10.1016/j.agwat.2017.06.019.192.

KHAZAEI, B.; HOSSEINI, S. M. Improving the performance of water balance equation using fuzzy logic approach. **Journal of Hydrology**, v.524, p.538-548, 2015.

LOPES, I.; LEAL, B. G. Evapotranspiração horária x diária utilizando Penman-Monteith para o polo de desenvolvimento Petrolina-PE/Juazeiro-BA. **Revista Brasileira e Agricultura Irrigada**, v.10, n.5, p. 914-924. 2016.

McMAHON, T. A.; PEEL, M. C.; LOWE, L.; SRIKANTHAN, R.; MCVICAR, T. R. Estimating actual, potential, reference crop and pan evaporation using standard meteorological data: a pragmatic synthesis. **Hydrology and Earth System Sciences**, v. 17, p. 1331–1363. 2013.

NOLZ, R.; RODNÝ, M. Evaluation and validation of the ASCE standardized reference evapotranspiration equations for a subhumid site in northeastern Austria. **Journal of Hydrology and Hydromechanics**, v.67, n.3, p.289-296. 2019. Doi: 10.2478/johh-2019-0004.

SOBRINHO, T. A.; RODRIGUES, D. B. B.; OLIVEIRA, P. T. S.; REBUCCI, L. C. S.; et al. Estimativa da evapotranspiração de referência através de redes neurais artificiais. **Revista Brasileira de Meteorologia**, v.26, n.2, p.197-203. 2011.

SOUSA, J. S. C. Procal\_ETo: programa computacional para cálculo da ETo pelo método de Penman-Monteith. Irriga, Botucatu, Edicao Especial, p. 380 - 395, 2012.

SOUZA, J. L. M. **Ciclo da água na agricultura: fundamentos para o estudo do sistema solo-planta-atmosfera.** Curitiba: Plataforma Moretti/DSEA/SCA/UFPR, 2017. (Manual didático).

SOUZA, J. L. M. **Plataforma Moretti: Módulo – Cálculo da evapotranspiração de referência ( $ETo$ ) diária e horária com método de Penman-Monteith.** Curiba: LAMOSA/DSEA/UFPR. 2019.

SOUZA, J. L. M. **Fundamentos de matemática e estatística para formulação de modelos e análise de dados: aplicado às ciências agrárias.** Curitiba, Plataforma Moretti/DSEA/SCA/UFPR, 2018. (Manual didático)

TREDER, W.;KLAMKOWSKI, K. An hourly reference evapotranspiration model as a tool for estimating plant water requirements. Polska Akademia Nauk, Oddział w Krakowie. **Infrastruktura i ekologia terenów wiejskich infrastructure and ecology of rural areas**, v.2, n. 1, p.469-481. 2017. Doi: 10.14597/infraeco.2017.2.1.035.

WILLMOTT, C. J. Some comments on the evaluation of model performance. **Bulletin American Meteorology Society**, v.63, n.11, p.1309-1313, 1982.